

СПИСОК ЛИТЕРАТУРЫ

1. Загорский А.Е., Шакарян Ю.Г. Управление переходными процессами в электрических машинах переменного тока. – М.: Энергоатомиздат, 1986. – 176 с.
2. Гольдберг О.Д., Гуринов Я.С., Свириденко И.С. Проектирование электрических машин / Под ред. О.Д. Гольдберга. – М.: Высшая школа, 1984. – 431 с.
3. Вольдек А.И. Электрические машины. – Л.: Энергия, 1974. – 839 с.
4. Копылов И.П., Горяинов Ф.А., Клоков Б.К. и др. Проектирование электрических машин / Под ред. И.П. Копылова. – М.: Энергия, 1980. – 495 с.
5. Аристов А.В. Электропривод колебательного движения с машиной двойного питания. – Томск: Изд-во ТПУ, 2000. – 176 с.
6. Ковач К.П., Рац И. Переходные процессы в машинах переменного тока. – М.-Л.: Госэнергоиздат, 1963. – 744 с.
7. Чиликин М.Г., Ключев В.И., Сандлер А.С. Теория автоматизированного электропривода. – М.: Энергия, 1979. – 616 с.

Поступила 15.03.2009 г.

УДК 621.313.333

РАБОЧИЕ ХАРАКТЕРИСТИКИ ЭЛЕКТРОПРИВОДА КОЛЕБАТЕЛЬНОГО ДВИЖЕНИЯ В РЕЖИМЕ ПРЕРЫВИСТОГО ПЕРЕМЕЩЕНИЯ

А.В. Аристов, Н.А. Воронина

Томский политехнический университет
E-mail: Parist@sibmail.com

Предложена методика определения частотных, механических и регулировочных характеристик электропривода колебательного движения, работающего в шаговом режиме. Определены условия автономности по координате, скорости и моменту, а также условия пропорционального регулирования кинематических и силовых характеристик электропривода.

Ключевые слова:

Электропривод колебательного движения, рабочие характеристики, шаговый режим, автономность регулирования.

В работе [1] были рассмотрены функциональная схема и принципы работы электропривода колебательного движения, работающего в режиме прерывистого движения за счет импульсного питания одной из обмоток статора исполнительного двигателя. Как показывает многолетняя практика, технические требования к таким электроприводам развиваются в первую очередь по пути повышения управляемости, что требует при их проектировании простых расчетных инженерных соотношений и характеристик, взаимосвязывающих функции регулирования, нагрузку и выходные параметры системы. Решению данных вопросов и посвящена данная статья.

Основные свойства электропривода колебательного движения, работающего в режиме прерывистого движения, будут определяться рядом его характеристик. В первую очередь к ним относятся: амплитудные кинематические и силовые, регулировочные и механические характеристики. Для их определения и анализа необходимо решить систему уравнений, описывающих электромеханический преобразователь энергии [2] при фазных напряжениях статора U_{α} , U_{β} в системе координатных осей α , β , имеющих вид

$$U_{\alpha s}(t) = U_m \gamma_1 \left\{ \frac{1}{2} \sin(\omega_1 t + \alpha) + \frac{1}{\pi} \sum_{i=1}^{\infty} (2i-1) [\cos[(\omega_1 - (2i-1)\Omega)t + \alpha] - \cos[(\omega_1 + (2i-1)\Omega)t + \alpha]] \right\};$$

$$U_{\beta s}(t) = U_m \gamma_2 \sin(\omega_2 t + \beta),$$

где U_m – амплитудное значение питающих фазных напряжений обмоток статора; γ_1 , γ_2 – коэффициенты сигналов; ω_1 , ω_2 , α , β – круговые частоты и начальные фазы фазных напряжений; $\Omega = \omega_1 - \omega_2$ – круговая частота шага.

Полагая, что частота Ω на порядок меньше частоты питающей сети ω_1 , ω_2 и переходя к операторной форме записи, решение системы для установившегося режима работы с помощью корней характеристических уравнений функций регулирования $p_{1,2} = \pm j\omega_1$; $p_{3,4} = \pm j\omega_2$; $p_{5,6i} = \pm j(\omega_1 - (2i-1)\Omega)$; $p_{7,8i} = \pm j(\omega_1 + (2i-1)\Omega)$ для n -го тока во временной плоскости будет иметь вид

$$\begin{aligned}
 i_n(t) = & (-1)^{n+1} U_m \gamma_1 \left\{ \frac{\Delta_{1n}(j\omega_1)}{4j\Delta(j\omega_1)} [\cos(\omega_1 t + \alpha) + j \sin(\omega_1 t + \alpha)] - \right. \\
 & [-j\omega_1]^* + \frac{1}{2} \sum_{i=1}^{\infty} (2i-1) \left\{ \frac{\Delta_{1n}(j[\omega_1 - (2i-1)\Omega])}{2j\Delta(j[\omega_1 - (2i-1)\Omega])} \times \right. \\
 & \times [\cos([\omega_1 - (2i-1)\Omega]t + \alpha) + \\
 & + j \sin([\omega_1 - (2i-1)\Omega]t + \alpha)] - \\
 & - [-j[\omega_1 - (2i-1)\Omega]]^* - \frac{\Delta_{1n}(j[\omega_1 + (2i-1)\Omega])}{2j\Delta(j[\omega_1 + (2i-1)\Omega])} \times \\
 & \times [\cos([\omega_1 + (2i-1)\Omega]t + \alpha) + \\
 & + j \sin([\omega_1 + (2i-1)\Omega]t + \alpha)] + \\
 & + [-j[\omega_1 + (2i-1)\Omega]]^* \left. \right\} \left. \right\} + (-1)^n U_m \gamma_2 \left\{ \frac{\Delta_{2n}(j\omega_2)}{2j\Delta(j\omega_2)} \times \right. \\
 & \times [\cos(\omega_2 t + \alpha) + j \sin(\omega_2 t + \alpha)] - [-j\omega_2]^* \left. \right\},
 \end{aligned}$$

где $\Delta_{ln}(\)$ – минор элемента l -й строки и n -го столбца определителя системы уравнений электро-механического преобразователя энергии; $\Delta(\)$ – детерминант четвертого порядка системы; $n=1, 2, 3, 4$; фазные токи обмоток статора (s) и ротора (r): $i_1(t)=i_{as}$; $i_2(t)=i_{\beta s}$; $i_3(t)=i_{ar}$; $i_4(t)=i_{\beta r}$; символом $[\]^*$ обозначены сопряженные, комплексно-сопряженные предыдущим величинам.

Раскрыв определители и свернув комплексно-сопряженные выражения, значения фазных токов можно записать как

$$\begin{aligned}
 i_n(t) = & (-1)^{n+1} U_m \gamma_1 \{ T_{1n} \sin(\omega_1 t + \theta_{1n}) + \\
 & + \frac{1}{\pi} \sum_{i=1}^{\infty} (2i-1) [T_{2ni} \sin[(\omega_1 - (2i-1)\Omega)t + \theta_{2ni}] - \\
 & - T_{3ni} \sin[(\omega_1 + (2i-1)\Omega)t + \theta_{3ni}]] \} + \\
 & + (-1)^n U_m \gamma_2 T_{4n} \sin(\omega_2 t + \theta_{4n}),
 \end{aligned}$$

где коэффициенты T_{in} , и фазовые углы θ_{in} определяются параметрами электрической машины.

Шаговая составляющая колебательного электромагнитного момента определяется согласно [3] из решения уравнения

$$M_{эм}(t) = L_m (i_{as} i_{\beta r} - i_{\beta s} i_{ar}),$$

где L_m – полная взаимоиנדуктивность электрической машины.

Разложив исходное выражение в ряд Маклорена по степеням скорости ω (в окрестности точки $\omega=0$) и ограничиваясь первыми двумя членами ряда, а также учитывая, что глубина модуляции периодических коэффициентов демпфирующей составляющей момента при низких частотах обычно невелика, можно записать

$$\begin{aligned}
 M_{эм}(t) = & M_1 \sin[\Omega t + \Psi_1] + M_2 \sin[(\omega_1 + \omega_2)t + \Psi_2] + \\
 & + \sum_{i=1}^{\infty} (2i-1) \{ M_{3i} \sin[2i\Omega t + \Psi_{3i}] + \\
 & + M_{4i} [(\omega_1 + \omega_2 - (2i-1)\Omega)t + \Psi_{4i}] + \\
 & + M_{5i} \sin[(\omega_1 + \omega_2 + (2i-1)\Omega)t + \Psi_{5i}] \} +
 \end{aligned}$$

$$+ \left(N_0 + \sum_{i=1}^{\infty} (2i-1)^2 N_i \right) \frac{d\chi}{dt}. \quad (1)$$

Здесь M_i , N_i , Ψ_i – величины, определяемые произведением фазных токов и их производных по скорости ω . Тогда координата подвижного элемента двигателя $\chi(t)$ определится из решения уравнения движения электромеханического преобразователя энергии

$$L_{мех} \frac{d^2\chi}{dt} + R_{мех} \frac{d\chi}{dt} = M_{эм}(t), \quad (2)$$

как

$$\begin{aligned}
 \chi(t) = & \chi_{m1} \sin[\Omega t + \sin \psi_1] + \\
 & + \chi_{m2} \sin[(\omega_1 + \omega_2)t + \psi_2] + \\
 & + \sum_{i=1}^{\infty} (2i-1) \{ \chi_{m3i} \sin[2i\Omega t + \psi_{3i}] + \\
 & + \chi_{m4i} [(\omega_1 + \omega_2 - (2i-1)\Omega)t + \psi_{4i}] + \\
 & + \chi_{m5i} \sin[(\omega_1 + \omega_2 + (2i-1)\Omega)t + \psi_{5i}] \}, \quad (3)
 \end{aligned}$$

где $L_{мех}$, $R_{мех}$ – коэффициенты инерционной и демпфирующей сил нагрузки; χ_{mj} , ψ_{ji} – амплитуды и начальные фазы гармонических составляющих закона движения.

Исходное выражение (1, 3) является определяющим для описания рабочих характеристик электродвигателя колебательного движения, работающего в шаговом режиме. Однако, они весьма громоздки и требуют при своем анализе большого объема вычислений, что делает затруднительным применение их для получения практических выводов. Поэтому, с целью наглядности и простоты, исследования влияния параметров нагрузки и источников питания на рабочие характеристики электропривода колебательного движения при шаговом режиме работы будут проводиться в дальнейшем применительно к какому-либо конкретно выполненному асинхронному двигателю. Так как все расчеты и построения будут вестись в относительных единицах, то выводы будут иметь вполне общий характер и общее значение.

Кроме того, целесообразно использовать ряд упрощающих допущений, в частности:

- рассматривать установившиеся режимы работы исполнительного двигателя, когда величина шага подвижного элемента не превышает половины геометрического базового размера положения ротора обобщенного электродвигателя;
- если закон движения подвижного элемента электродвигателя не имеет определяющего значения, то находить рабочие характеристики для первой гармоники;
- считать параметры нагрузки в процессе работы постоянными и независимыми от времени;
- при необходимости определять отклонение выходных параметров относительными или среднеквадратичными величинами.

С учетом вышесказанного и выражений (2, 3) амплитуда первой гармоники координаты движения χ_{m1} и ее фаза α запишутся как

$$\chi_{m1} = \frac{M_1}{\Omega(R_{\text{мех}} - f_{\text{демп}})\sqrt{1+Z(\Omega)^2}};$$

$$\psi_1 = \arctg \frac{\sin \Psi_1 L_{\text{мех}} \Omega - \cos \Psi_1 (R_{\text{мех}} - f_{\text{демп}}) \Omega}{\cos \Psi_1 L_{\text{мех}} \Omega + \sin \Psi_1 (R_{\text{мех}} - f_{\text{демп}}) \Omega}, \quad (4)$$

где $f_{\text{демп}} = N_0 + \sum_{i=1}^{\infty} (2i-1)^2 N_i$ – суммарный коэф-

фициент электромагнитного демпфирования двигателя; $Z(\Omega) = L_{\text{мех}} \Omega / (R_{\text{мех}} - f_{\text{демп}})$ – электромеханическая постоянная времени, а первая гармоника шаговой составляющей колебательного электромагнитного усилия

$$M_{\text{эм},1}(t) = M_m \cdot \sin(\Omega t + \theta).$$

Здесь амплитуда M_m и фаза θ определяются выражениями

$$M_m = M_1 \left[\frac{R_{\text{мех}}^2 + L_{\text{мех}}^2 \Omega^2}{(R_{\text{мех}} - f_{\text{демп}})^2 (1 + Z(\Omega)^2)} \right]^{0,5};$$

$$\theta = \psi_1 + \arctg \frac{1}{Z(\Omega)}. \quad (5)$$

Полученные соотношения (4, 5) описывают искомые амплитудные кинематические $\chi_m(\Omega)$, $\omega_m(\Omega)$ и силовые $M_m(\Omega)$ характеристики, а также механические амплитудные ($\Omega = \text{var}$) и мгновенные ($t = \text{var}$) характеристики по координате $\chi_m(M_m)$; $\chi(M_{\text{эм}})$ и скорости $\omega_m(M_m)$; $\omega(M_{\text{эм}})$ для различных видов нагрузки. Представленные соотношения определяют и всю гамму регулировочных характеристик $\chi_m(\gamma, \Omega)$, $\omega_m(\gamma, \Omega)$, $M_m(\gamma, \Omega)$ при подстановке в них зависимостей M_1 и $f_{\text{демп}}$ от функций регулирования.

На рис. 1. приведены амплитудно-частотные характеристики (АЧХ) вибротранспортной технологической установки горизонтального снаряжения трубчатых изделий, выполненной на базе асинхронного двигателя типа 4АК160S8У3. Так как представленные кривые иллюстрируют формирование шагового режима работы двигателя при фа-

зовом способе возбуждения колебательного режима работы, то последнее и предопределяет в конечном итоге характер АЧХ. Однако, следует сразу заметить, что приведенная амплитудно-частотная силовая характеристика отличается от известной [4], так как построена с учетом механического демпфирования нагрузки. В частности она имеет хотя и слабый, но возрастающий характер. Этот факт позволяет заключить о возможности синтезировать для некоторого частотного диапазона силовой электропривод прерывистого движения, инвариантный по усилию к частоте шага.

Амплитудные механические характеристики можно определить из решения системы

$$\begin{cases} \chi(t) = \chi_m \sin(\Omega t + \psi); \\ M_{\text{эм}}(t) = M_m \sin\left(\Omega t + \psi + \arctg \frac{1}{Z(\Omega)}\right). \end{cases}$$

Они представляют собой не замкнутые кривые, а абсолютные мгновенные (рис. 2) – эллипсы $\omega(M_{\text{эм}})$ и полуэллипсы $\chi(M_{\text{эм}})$. Они построены для одного шагового движения и не учитывают, как уже отмечалось, высокочастотных составляющих суммарной частоты $\omega_1 + \omega_2$.

Независимо от режима работы асинхронного двигателя кривые занимают первый квадрант, кроме того, мгновенные механические характеристики по скорости повернуты относительно начала координат на угол

$$\alpha_{\text{эл}} = 0,5 \arctg \frac{4M_m \omega_m}{M_m^2 - \omega_m^2} \sqrt{1 + Z(\Omega)^2}.$$

В отличие от амплитудных механических характеристик и абсолютных мгновенных – относительные мгновенные механические характеристики представляют собой нагрузочные линии при колебательном режиме работы асинхронного двигателя и не связаны с его параметрами, что принципиально отличает их от эллиптических характеристик, используемых в работе [5].

Регулировочные характеристики наряду с механическими являются основными характеристиками исполнительных двигателей, работающих в режиме прерывистого движения. Одним из главных

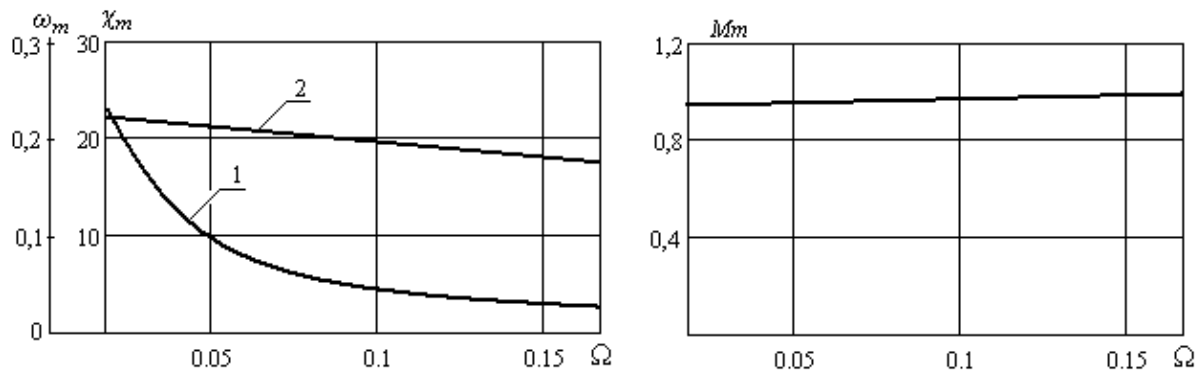


Рис. 1. Амплитудно-частотные кинематические (а) (χ_m – 1, ω_m – 2) и силовые (б) характеристики АД при $L_{\text{мех}} = 12$ о.е.; $R_{\text{мех}} = 4,11$ о.е.

требований, предъявляемым к ним, является линейность — прямая пропорциональность выходных параметров машины от функций регулирования. Однако, как правило, это требование не выполняется. В первую очередь это связано с тем, что составляющие пускового M_i и демпфирующего $f_{\text{демп}}$ усилия, определяющие в конечном итоге характер изменения выходных параметров исполнительного двигателя, являются нелинейными функциями от коэффициента сигнала управления γ_i .

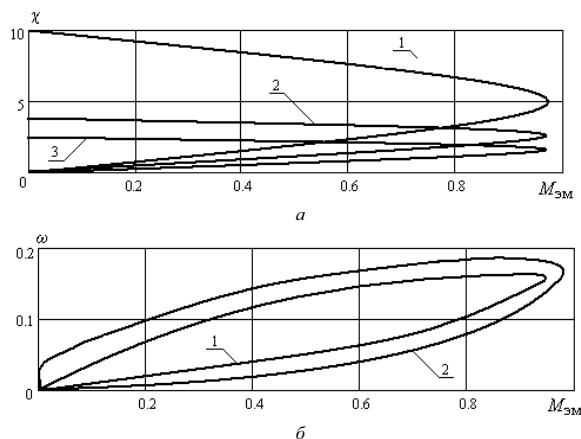


Рис. 2. Мгновенные абсолютные механические характеристики асинхронного двигателя по координате (а) и скорости (б) при $L_{\text{мех}}=12$ о.е.; $R_{\text{мех}}=4,11$ о.е.; $\Omega=0,02$ о.е. (1), $\Omega=0,18$ о.е. (2) $\Omega=0,1$ о.е. (3)

Причем нелинейность составляющих электромагнитного усилия зависит существенным образом от того, как и по каким из обмоток исполнительного двигателя производится регулирование.

Во-вторых, выходные параметры, характеризующие кинематические и силовые характеристики электродвигателя колебательного движения в режиме прерывистого движения, в свою очередь, сами являются нелинейными функциями от M_i и $f_{\text{демп}}$.

В таблице представлены способы регулирования асинхронного двигателя при шаговом движении, а на рис. 3 соответствующие им законы изменения $\chi_m(\gamma)$ и $M_m(\gamma)$ для рассматриваемого ранее двигателя на частоте шага $\Omega=0,057$ о.е. В них $G_1..G_3$ — определяются параметрами электрической машины.

Представленные характеристики представляют практический интерес, так как иллюстрируют возможность пропорционального регулирования величины шага и момента при изменении фазного напряжения, например, по одной из обмоток двигателя (кривая 1).

Условия автономности регулирования кинематических и силовых параметров при шаговом движении ротора двигателя представлены в таблице. Они взаимосвязывают частоту шага Ω с функциями регулирования через электромагнитный пусковой и демпфирующие моменты для произвольно заданных значений амплитуды χ_m , скорости ω_m , и усилия M_m .

В частности, на рис. 4 представлены характеристики $\Omega(\gamma)$ при обеспечении постоянства амплитуды

ды шага χ_m для двух заданных уровней. Анализ характеристик позволяет констатировать факт о возможности обеспечения постоянства амплитуды шага за счет линейного регулирования одного из фазных напряжений двигателя (кривые 2, 4).

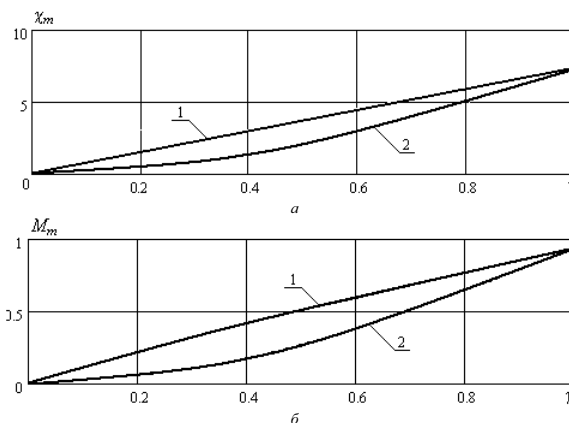


Рис. 3. Законы регулирования амплитуд закона движения (а) и электромагнитного момента (б) при $\gamma_1 = \text{var}$, $\gamma_2=1$ (1); $\gamma_1=\gamma_2 = \text{var}$ (2)

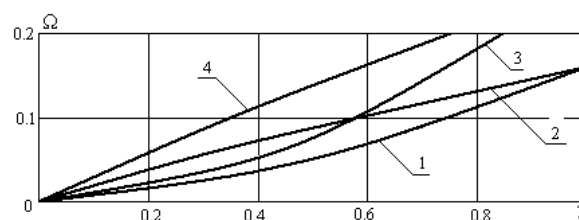


Рис. 4. Условие автономности регулирования амплитуды координаты при $\chi_m=2,47$ о.е. (1,2), $\chi_m=1,5$ о.е. (3,4) для $\gamma_1=\gamma$, $\gamma_2=1$ (1,3), $\gamma_1=\gamma_2=\gamma$ (2,4)

Полученные аналитические зависимости рабочих характеристик электропривода колебательного движения при прерывистом движении указывают на возможность альтернативного выбора параметров электрической машины и функций регулирования при заданных параметрах нагрузки для построения специализированных комплексов с требуемыми кинематическими и силовыми характеристиками, например, для приводов подачи кузнечного прессового оборудования или технологических установок расфасовочно-упаковочного оборудования.

Выводы

1. Получены расчетные соотношения, описывающие рабочие и регулировочные характеристики электродвигателя колебательного движения при прерывистом движении для различных типов нагрузки.
2. Установлено, что влияние параметров электрической машины и функций регулирования на кинематические и силовые характеристики привода осуществляется в основном через коэффициенты пускового и демпфирующего электромагнитного момента.

Таблица. Рабочие характеристики электропривода колебательного движения в режиме прерывистого перемещения

Частотные характеристики		
Амплитудные	χ_m	$\frac{M_1}{\Omega(R_{\text{мех}} - f_{\text{демп}})[1 + Z(\Omega)^2]^{0.5}}$
	ω_m	$\frac{M_1}{(R_{\text{мех}} - f_{\text{демп}})[1 + Z(\Omega)^2]^{0.5}}$
	M_m	$M_1 \left[\frac{R_{\text{мех}}^2 + L_{\text{мех}}^2 \Omega^2}{(R_{\text{мех}} - f_{\text{демп}})^2 (1 + Z(\Omega)^2)} \right]^{0.5}$
Механические характеристики по координате положения и скорости		
Амплитудные	$\chi_m(M_m)$	$M_m \Omega^{-1} [L_{\text{мех}}^2 \Omega^2 + R_{\text{мех}}^2]^{-0.5}$
	$\omega_m(M_m)$	$M_m [L_{\text{мех}}^2 \Omega^2 + R_{\text{мех}}^2]^{-0.5}$
Мгновенные (эллипс)	$\chi(M_{\text{эм1}})$	$\frac{\chi_m^2}{\chi_m^2} [1 + Z(\Omega)^2] + \frac{M_{\text{эм1}}^2}{M_m^2} [1 + Z(\Omega)^2] - 2 \frac{M_{\text{эм1}} \chi_m}{M_m \chi_m} Z(\Omega) [1 + Z(\Omega)^2]^{0.5} = 1$
	$\omega(M_{\text{эм1}})$	$\frac{\omega_m^2}{\omega_m^2} \left[1 + \frac{1}{Z(\Omega)^2} \right] + \frac{M_{\text{эм1}}^2}{M_m^2} \left[1 + \frac{1}{Z(\Omega)^2} \right] - 2 \frac{M_{\text{эм1}} \omega_m}{M_m \omega_m} \frac{1}{Z(\Omega)^2} [1 + Z(\Omega)^2]^{0.5} = 1$
Регулировочные характеристики		
γ	$\gamma_2=1, \gamma_1=\gamma\text{-var}$	$\gamma_1=\gamma_2=\gamma\text{-var}$
χ_m	$\frac{\gamma G_1}{\Omega [L_{\text{мех}}^2 \Omega^2 + [R_{\text{мех}} - (\gamma^2 G_2 + G_3)]^2]^{0.5}}$	$\frac{\gamma^2 G_1}{\Omega [L_{\text{мех}}^2 \Omega^2 + [R_{\text{мех}} - \gamma^2 (G_2 + G_3)]^2]^{0.5}}$
ω_m	$\frac{\gamma G_1}{[L_{\text{мех}}^2 \Omega^2 + [R_{\text{мех}} - (\gamma^2 G_2 + G_3)]^2]^{0.5}}$	$\frac{\gamma^2 G_1}{[L_{\text{мех}}^2 \Omega^2 + [R_{\text{мех}} - \gamma^2 (G_2 + G_3)]^2]^{0.5}}$
M_m	$\gamma G_1 \left[\frac{R_{\text{мех}}^2 + L_{\text{мех}}^2 \Omega^2}{L_{\text{мех}}^2 \Omega^2 + [R_{\text{мех}} - (\gamma^2 G_2 + G_3)]^2} \right]^{0.5}$	$\gamma^2 G_1 \left[\frac{R_{\text{мех}}^2 + L_{\text{мех}}^2 \Omega^2}{L_{\text{мех}}^2 \Omega^2 + [R_{\text{мех}} - \gamma^2 (G_2 + G_3)]^2} \right]^{0.5}$
Условия автономности регулирования параметров		
Автономность амплитуды	Координаты $\chi_m=\text{const}$	$\Omega = \left\{ -\frac{(R_{\text{мех}} - f_{\text{демп}})^2}{2L_{\text{мех}}^2} + \left[\frac{(R_{\text{мех}} - f_{\text{демп}})^4}{4L_{\text{мех}}^4} + \frac{M_1^2}{L_{\text{мех}}^2 \chi_m^2} \right]^{0.5} \right\}^{0.5}$
	Скорости $\omega_m=\text{const}$	$\Omega = \left\{ \frac{\omega_m^2 (R_{\text{мех}} - f_{\text{демп}})^2 - M_1^2}{\omega_m^2 L_{\text{мех}}^2} \right\}^{0.5}$
	Усилия $M_m=\text{const}$	$\Omega = \left\{ \frac{M_m^2 (R_{\text{мех}} - f_{\text{демп}})^2 - M_1^2 R_{\text{мех}}^2}{2L_{\text{мех}}^2 (M_m^2 - M_1^2)} \right\}^{0.5}$

3. В целях обеспечения линейности регулирования скорости и момента управление двигателем следует осуществлять только по одной из обмоток статора.

4. Показано, что с целью поддержания постоянства (автономности) амплитуды шага напряжение на одной из фазных обмоток статора двигателя должно регулироваться прямо пропорционально частоте шага.

СПИСОК ЛИТЕРАТУРЫ

- Аристов А.В. Электропривод колебательного движения в режиме прерывистого перемещения // Известия Томского политехнического университета. – 2008. – Т. 313. – № 4. – С. 107–109.
- Копылов И.П. Электромеханические преобразователи энергии. – М.: Энергия, 1973. – 400 с.
- Петров И.И., Мейстель А.М. Специальные режимы работы асинхронного электропривода. – М.: Энергия, 1968. – 264 с.
- Луковников В.И. Электропривод колебательного движения. – М.: Энергоатомиздат, 1984. – 152 с.
- Петров Б.И., Полковников В.А. Динамические возможности следящих электроприводов. – М.: Энергия, 1976. – 128 с.

Поступила 21.04.2009 г.